

Proiect component: Pr.5 Conducerea inteligentă, cu tehnici avansate și navigația bazată pe senzori performanți, sistem video-biometric și sistem servoing vizual a sistemului autonom complex SAC-SI integrat în tehnologia de asistare a persoanelor cu dizabilități neuro-motorii severe

Activitatea: Act 2.13 - -Proiectarea structurii de conducere inteligentă (bazată pe tehnici avansate) precum și a structurii de navigație (bazată pe senzori performanți) pentru sistemul autonom complex SAC-SI integrat în tehnologia de asistare a persoanelor cu dizabilități neuro-motorii severe

Indicatori de realizare:

-Structură de conducere inteligentă și structură de navigare pentru SAC-SI, "Cirrus Power Wheelchair" integrat în tehnologia de asistare a persoanelor cu dizabilități neuro-motorii severe;

-Produs software nou

În cadrul acestei activități s-a dezvoltat o metoda de comandă a unui scaun cu roțile pentru persoanele cu dizabilități severe care nu pot acționa manual joystick-ul scaunului cu roțile.

S-a pornit de la ideea îmbunătățirii unui scaun cu roțile, dotat cu motoare electrice și cu echipamentul de calcul necesar pentru a efectua detecția feței și pentru a trimite comenzile către motoare, scopul final fiind controlul simplu, sigur și ușor de învățat pentru o persoană cu dizabilități locomotorii severe.

Folosind metoda propusă, scaunul cu roțile poate fi controlat astfel încât acesta poate merge înainte, poate vira, și poate merge cu viteză variabilă în funcție de nevoile utilizatorului.

Schema general propusă este prezentată în Figura 2.13.1.

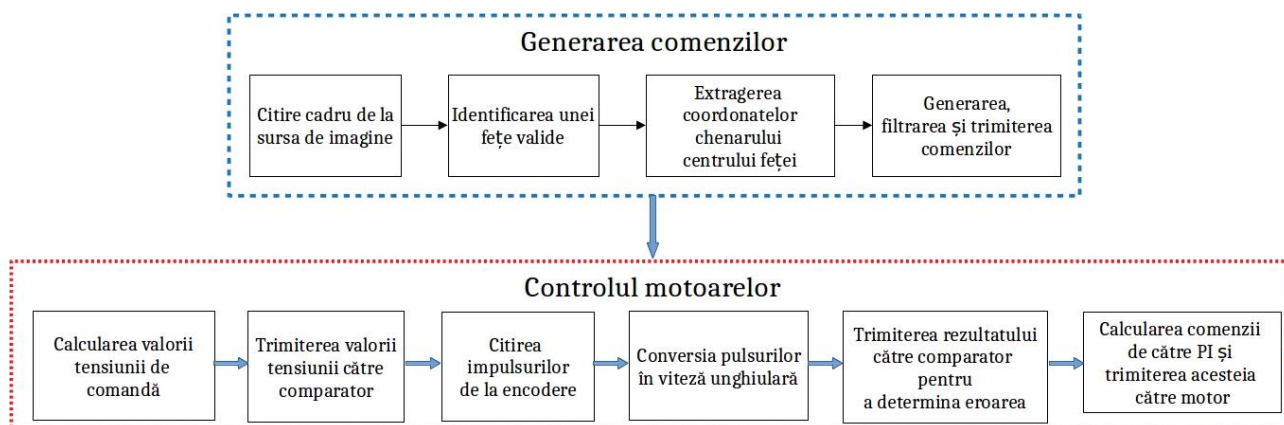


Fig. 2.13.1 Schema bloc funcțională.

Pentru a putea efectua detecția feței în timp real s-a utilizat librăria OpenCV (OpenCV este o bibliotecă software, open-source ce are o multitudine de utilizări în domenii ce necesită recunoașterea formelor obiectelor). În proiectul de față s-a utilizat o camera Microsoft LifeCam HD-3000 care are o rezoluție de 1280x720 pixeli și care furnizează 30 de cadre pe secundă.

Fiecare cadru achiziționat de către cameră trebuie prelucrat pentru a permite clasificatorului din OpenCV să identifice fața utilizatorului. Prelucrarea ce are loc imediat după achiziția fiecărui cadru este convertirea cadrului color într-unul alb-negru. După ce imaginea color a fost transformată într-o imagine alb-negru, aceasta este trimisă către un clasificator care este responsabil de detecția propriuzisă a feței.

În cazul de față, clasificatorul este o componentă software care folosește un set de reguli pentru identificarea feței utilizatorului. Setul de reguli pentru clasificator este obținut prin introducerea unor imagini ce reprezintă exemple pozitive (imagini în care apar fețe umane) și negative (imagini fără fețe) într-o aplicație ce utilizează toate eșantioanele introduse pentru a determina ce anume dorește utilizatorul să fie identificat și ce nu.

Clasificatorul folosit în această lucrare este Haar Cascade. Acesta primește imaginea alb-negru procesată anterior și începe să caute în imagine caracteristici (forme) ce corespund setului de reguli obținut anterior utilizând o fereastră de căutare.

Fereastra de căutare joacă un rol foarte important în acuratețea detecției feței. Cu cât fereastra de căutare este mai mică, cu atât rezultatele vor fi mai precise dar nu se va mai putea asigura caracteristica de timp real deoarece acest proces necesită foarte multe resurse hardware și un timp de calcul ridicat. De aceea trebuie găsită o dimensiune a ferestrei de căutare care să permită o detecție bună a feței și, în același timp, să nu consume toate resursele hardware, deoarece în sistem există și alte procese care au nevoie de timp de calcul.

Pentru generarea comenzilor utilizatorul trebuie să își miște capul, de exemplu ridicarea ușoară a capului reprezintă comanda „înainte”, iar coborârea capului oprește scaunul cu roțile.

Soluția aleasă a fost utilizarea a două patrulatere. Un patrulater, cel inițial, este utilizat ca și punct de plecare, iar cel de-al doilea este utilizat pentru determinarea poziției actuale a feței (a se vedea Figura 2.13.2).

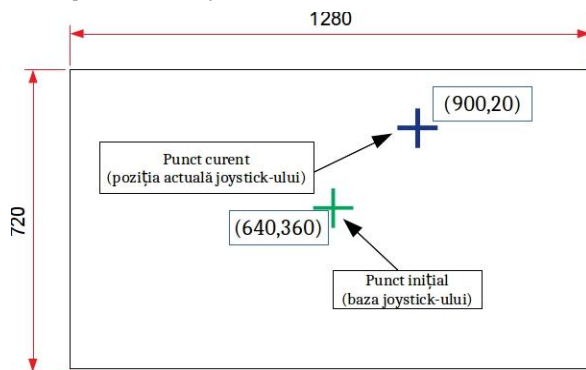


Fig. 2.13.2. Reprezentarea centrelor patrulaterelelor a căror coordonate sunt utilizate pentru a determina direcția de mers și viteza de deplasare.



Fig. 2.13.3. Exemplu de patrulater valid - care încadrează atât fața utilizatorului cât și ochii acestuia

În cazul de față, un patrulater valid ce poate fi folosit pentru a genera comenzi este un patrulater care încadrează atât fața utilizatorului cât și ochii acestuia (a se vedea Figura 2.13.3).

Pentru aceasta se folosesc două clasificatoare. Un clasificator este pentru față, iar celălalt este doar pentru ochi. Dacă patrulaterul pentru ochi este înscris în patrulaterul feței atunci patrulaterul feței este considerat valid și astfel se poate genera următoarea comandă. În caz contrar acesta este ignorat și se repetă comanda anterioară. Dacă în decurs de 2 secunde nu este detectat nici un patrulater valid atunci scaunul cu roțile va fi oprit din motive de siguranță, iar utilizatorul va trebui să plaseze fața în punctul inițial după care scaunul cu roțile va putea fi folosit în continuare.

Pentru generarea comenzii se folosesc doar centrele celor două patrulatere (cel de referință și cel actual), restul atributelor nu mai sunt necesare.

Pentru eliminarea perturbațiilor s-a folosit un filtru Kalman. Motivul pentru care s-a ales filtrul Kalman, în detrimentul altor metode de eliminare a perturbațiilor, este consumul redus de resurse pentru filtrare și simplitatea implementării. În același timp, filtrul Kalman oferă o filtrare bună pentru obținerea unor valori cât mai stabile ale semnalului.

La o primă vedere, modulul bazat pe OpenCV nu pare a fi un sistem cu buclă închisă însă acest lucru nu este adevărat, elementul responsabil de închiderea buclei de control fiind utilizatorul. Acesta joacă rolul de regulator și de comparator fiind responsabil de „calcularea” erorii (unde vrea să se deplaseze și unde se duce scaunul cu roțile) precum și de „generarea” unei comenzi corective.

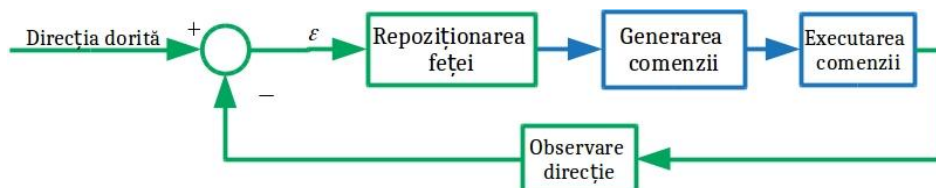


Fig. 2.13.4. Schema de generare a comenzilor în buclă închisă

În Figura 2.13.4 este ilustrat modul în care comanda generată de către utilizator este corectată în cazul în care aceasta nu corespunde cu referința (direcția dorită).

În Figura 2.13.5 este dezvoltată schema algoritmului propus pentru generarea comenzilor.

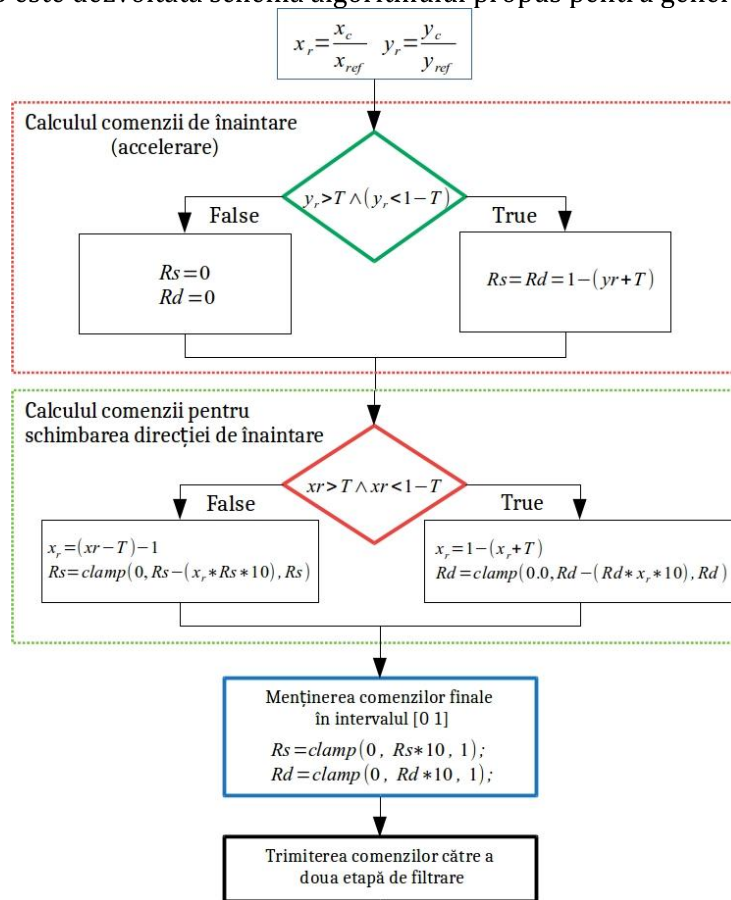


Fig.2.13.5. Schema bloc a algoritmului propus pentru generarea comenzilor

Interfața grafică implementată în OpenCV este exemplificată în Figura 2.13.6.



Fig. 2.13.6. Interfața grafică a aplicației dezvoltate (produs software nou)

Aplicația realizată a fost proiectată și implementată astfel încât aceasta să poată fi extinsă ușor pentru ca în viitor să își găsească menirea în a ușura deplasarea persoanelor cu dizabilități și pe alte tipuri de platforme mobile.

Pe baza soluției propuse a fost publicat un articol indexat BDI (cu propunere de indexare ISI Proceedings).

Activitatea: Act 2.14 - *-Proiectarea structurii de evitare a obstacolelor (bazată pe senzori de tip laser și video) pentru sistemul complex SAC-SI integrat în tehnologia de asistare a persoanelor cu dizabilități neuro-motorii severe*

Indicatori de realizare:

-Structură de evitare a obstacolelor (bazată pe senzori de tip laser și video) ce deservește scaunul cu roțile de tip "Cirrus Power Wheelchair" (SAC-SI) integrat în tehnologia de asistare a persoanelor cu dizabilități neuro-motorii severe;

-Produs software nou;

În cadrul acestei etape s-a realizat în MATLAB un algoritm pentru determinarea automată a unei traiectorii (ce permite evitarea obstacolelor fixe) pentru un scaun cu roțile/fotoliu rulant cu două roți motoare utilizând PSO (Particle Swarm Optimization).

Fiecare particulă actualizează poziția (și viteza) sa utilizând următoarele ecuații:

(2.14.1)

Forma generală a funcției fitness este:
$$| \quad \sum \quad | \quad |$$

(2.14.2)

În metode globale de găsim a unui traseu, mediul se presupune a fi complet cunoscut și traseul (calea) este optimizat luând în considerare toate informațiile care apar în hartă. Traseul de referință poate duce robotul la destinație într-un mod rafinat. Mai mult, traseul optim este găsit numai dacă obstacolele din cale sunt fixe și nu există zone fără ieșire.

Algoritm utilizat pentru metoda globală este descris în tabelul de mai jos:

Tabelul I: Algoritmul „Path Planning” utilizat pentru metoda globală

```

1: Initialization Parameters:
   iterations, swarm size, initial swarm position, initial velocity.
2: FOR iter = 1 to iterations DO
3:     FOR i = 1 to swarm size DO
4:         update particles  $S_i$  (see eq. 2.14.1)
5:         calculate the Fitness (see eq. 2.14.2)
6:         IF new position is better THEN
           update best  $S_i$ 
           update the best value
7:         End IF
8:     End FOR
9:     update global best positioning
10:    FOR i = 1 to swarm size DO
11:        updating velocity vectors  $V_i$  (see eq. 2.14.1)
12:    End FOR
13: End FOR

```

In Fig. 2.14.1 este prezentat un studiu de caz cu trei obstacole fixe pe calea robot mobil. Este ușor de observat din această figură că drumul până la destinație este găsit după 21 de iterații ale algoritmului. Tot în Figura 1 este arătată detaliat situația în care robotul trebuie să treacă printre două obstacole fixe. Se poate observa că doar 13 din cele 25 de particule (dimensiunea roiului utilizat pentru acest studiu de caz) sunt luate în considerare. Celelalte particule se suprapun cu obstacolele (11 particule se suprapun peste obstacolul nr. 1 și o particulă se suprapune peste obstacolul nr. 3).

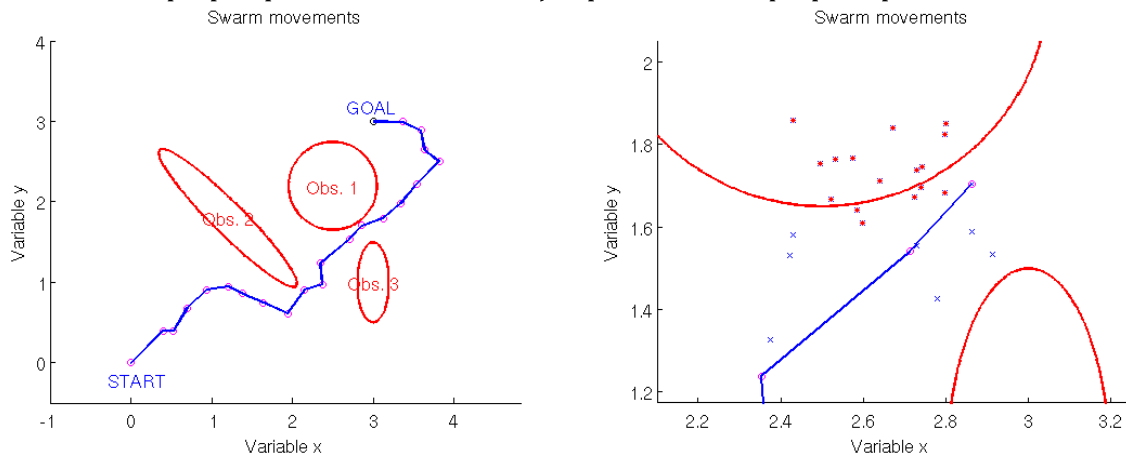


Fig. 2.14.1. Rezultatul algoritmului de găsim a traseului optim între punctul de START și cel FINAL folosind PSO (metoda globală); detaliul zonei dintre obstacolele 1 și 3.

Rezultatul final pentru acest algoritm este dat de setul de puncte intermediare ale traseului (x_i, y_i) . Setul de puncte intermediare reprezintă intrarea pentru controllerul de urmărire al traseului robot mobil. Sarcina controllerului este de a deplasa autonom robotul mobil pe traseul găsit utilizând algoritmul PSO.

Tot în această etapă s-a implementat în MATLAB un algoritm pentru realizarea automata a unei traiectorii ce ține cont de restricțiile de timp și confort pentru un scaun cu roțile. In aceasta etapa au fost generați vectorii de viteza (liniara și unghiulara) necesari conducerii în timp real a platformei mobile (sistemului autonom).

Pentru determinarea traiectoriei unui robot mobil se utilizează ecuații de gradul 5.

$$\begin{pmatrix} \cdot \\ \cdot \\ \cdot \\ \cdot \\ \cdot \end{pmatrix} \begin{bmatrix} \cdot \\ \cdot \\ \cdot \\ \cdot \\ \cdot \end{bmatrix} \begin{bmatrix} \cdot \\ \cdot \\ \cdot \\ \cdot \\ \cdot \end{bmatrix} \begin{bmatrix} \cdot \\ \cdot \\ \cdot \\ \cdot \\ \cdot \end{bmatrix} \begin{bmatrix} \cdot \\ \cdot \\ \cdot \\ \cdot \\ \cdot \end{bmatrix} \quad (2.14.3)$$

Ecuația curburii realizată pentru fiecare segment din traiectorie este:

$$\frac{\left(\begin{pmatrix} \cdot \\ \cdot \\ \cdot \\ \cdot \\ \cdot \end{pmatrix} \right)}{\left(\begin{pmatrix} \cdot \\ \cdot \\ \cdot \\ \cdot \\ \cdot \end{pmatrix} \right)} \quad (2.14.4)$$

Lungimea curburii este dată de ecuația:

$$\int_{\left(\begin{pmatrix} \cdot \\ \cdot \\ \cdot \\ \cdot \\ \cdot \end{pmatrix} \right)} \sqrt{\left(\begin{pmatrix} \cdot \\ \cdot \\ \cdot \\ \cdot \\ \cdot \end{pmatrix} \right)} \quad (2.14.5)$$

Profilul de viteză care corespunde fiecărui segment este împărțit în 5 părți $m = 1, 2, \dots, 5$:

$$\left(\begin{pmatrix} \cdot \\ \cdot \\ \cdot \\ \cdot \\ \cdot \end{pmatrix} \right) \quad (2.14.6)$$

Similar, lungimea și accelerația longitudinală pentru fiecare segment sunt calculate astfel:

$$\begin{pmatrix} \dot{x} \\ \dot{y} \\ \dot{z} \end{pmatrix} = \begin{pmatrix} v \cos \theta \cos \phi \\ v \cos \theta \sin \phi \\ v \sin \theta \end{pmatrix} \quad (2.14.7)$$

$$\begin{pmatrix} \ddot{x} \\ \ddot{y} \\ \ddot{z} \end{pmatrix} = \begin{pmatrix} \dot{v} \cos \theta \cos \phi - v \dot{\theta} \sin \theta \cos \phi - v \dot{\phi} \cos \theta \sin \phi \\ \dot{v} \cos \theta \sin \phi + v \dot{\theta} \sin \theta \sin \phi - v \dot{\phi} \cos \theta \cos \phi \\ \dot{v} \sin \theta + v \dot{\theta} \cos \theta \end{pmatrix} \quad (2.14.8)$$

Viteza unghiulară poate fi calculată utilizând formula lui Frenet:

$$\omega = \frac{v}{R} \quad (2.14.9)$$

iar accelerația laterală cu relația:

$$a_{ly} = v \omega \quad (2.14.10)$$

Confortul uman este calculat conform ecuației de mai jos (conform ISO 2631-1 și ISO2631-5)

$$C = \sqrt{\frac{a_{wx}^2}{\tau_x} + \frac{a_{wy}^2}{\tau_y} + \frac{a_{wz}^2}{\tau_z}} \quad (2.14.11)$$

unde a_{wx} , a_{wy} , a_{wz} sunt accelerațiile medii pătratic calculate pe fiecare segment al traiectoriei, iar τ_x , τ_y , τ_z factori de multiplicare: $\tau_x = 1.4$, $\tau_y = 1.4$, $\tau_z = 0$.

Algoritmul propus pentru calcularea vitezelor lineare și unghiulare ce ține cont de restricțiile de timp pentru un robot mobil cu două roți motoare este descris în tabelul II.

Tabelul II: Trajectory Planning Algoritm

-
- 1: Calculate $x_{j,j+1}(u)$ and $y_{j,j+1}(u)$ for each curve (eq. 2.14.3)
calculate the curvature $K_{j,j+1}(u)$ for each curve (eq. 2.14.4) and
calculate the curve length $L_{j,j+1}(u)$ for each curve (eq. 2.14.5)
 - 2: Determine a time $t_{j,j+1}$ for each seg. $Pos_{j,j+1}$ of the path
The time is calculate function of the comfort of human
body constraint: $t_{j,j+1} = ((2L_{j,j+1})/a_w)^{1/2}$
 - 3: **FOR** $j = 1$ to goal (final position) **DO**
 - 4: Calculate an average velocity $v_{j,j+1} = a_w \cdot t_{j,j+1}$
 - 5: Calculate an initial velocity profile $v_{j,j+1}(t)$ with $t \in [0, t_{j,j+1}]$ (see eq. 2.14.6)
and longitudinal accel. profile $a_{T_{j,j+1}}(t)$ using eq. 2.14.8
 - 6: Calculate angular velocity profile $\omega_{j,j+1}(t)$ (see eq. 2.14.9) and lateral accel.
profile $a_{L_{j,j+1}}(t)$ using eq. 2.14.10
 - 7: Calculate the overall r.m.s. acc. $a_{wj,j+1}$ for segment (eq. 2.14.11)
 - 8: **IF** $a_{wj,j+1} > 0.4 \text{ m/s}^2$ **THEN**
increase the time $t_{j,j+1}$ for this segm. and go to step 4
 - 10: **End FOR**
-

În figurile următoare sunt reprezentate rezultatele obținute în urma simulării algoritmului propus (tabel II):

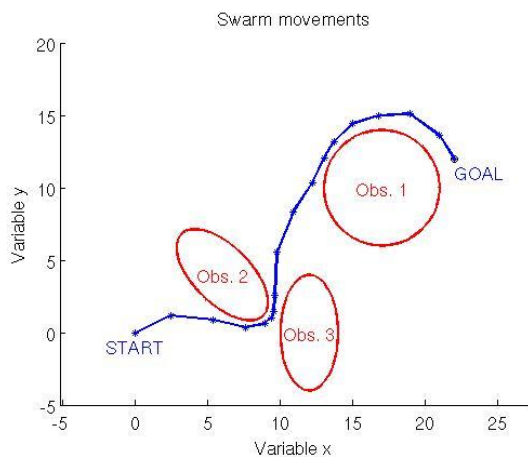


Fig. 2.14.3 Exemplu de traiectorie utilizand ecuații de gradul cinci.

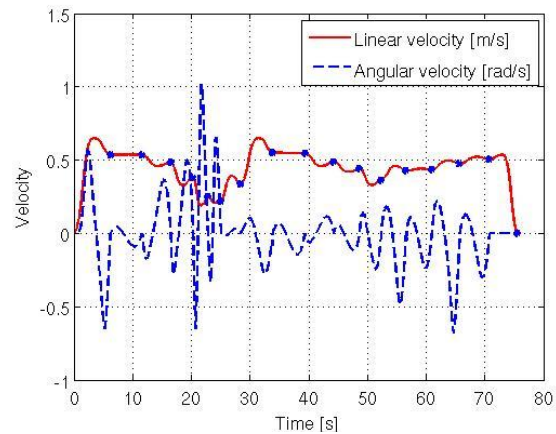


Fig.2.14.4 Viteza liniară și unghiulară calculate cu ajutorul algoritmului propus.

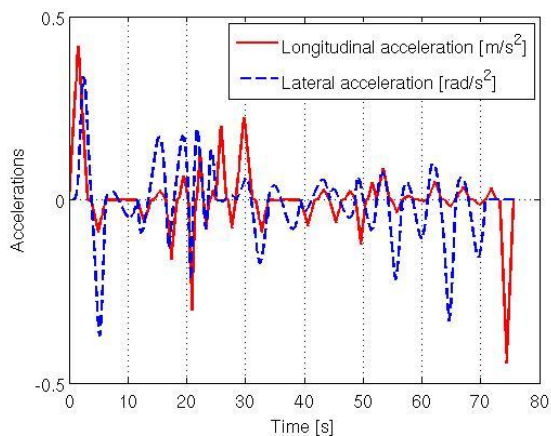


Fig. 2.14.5 Accelerațiile liniare și laterale pentru exemplul din figura 2.14.3.

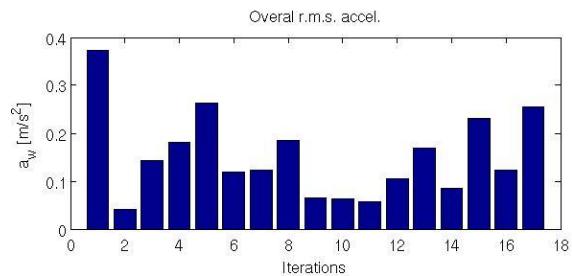


Fig. 2.14.6 Valorile medii pătratice ale accelerațiilor pentru exemplul din figura 2.14.3.

Activitatea: Act 2.15 - *-Proiectarea și realizarea structurii de conducere avansată bazată pe sisteme servoing vizuale (pt. manipulatorul robotic cu 7DOF) ce deservește sistemului autonom complex SAC-SI integrat în tehnologia de asistare a pers. cu dizabilități neuro-motorii severe*

Indicatori de realizare:

- Structură de conducere avansată bazată pe senzori performanți și sistem servoing vizual mobil a manipulatorului Cyton 1500 care echipează SAC-SI;
- Produs software nou;

În cadrul acestei activități s-a realizat sortarea unor obiecte de pe o suprafață de lucru după mărimea lor, urmată de manipularea lor utilizând un brat robotic (Cyton Gamma 1500).

Algoritmul propus oferă posibilitatea selecției celui mai mic obiect de pe suprafața de lucru, selecția celui mai mare obiect sau aranjarea obiectelor într-o stivă în ordinea mărimii lor, de la cel mai mare la cel mai mic.

Algoritmul este dezvoltat utilizând software-ul MATLAB, împreună cu toolbox-ul pentru procesare de imagini. Detectarea obiectelor este o tehnologie care face parte din domeniul procesării computerizate a imaginilor.

Structura echipamentelor hardware utilizate este prezentată în figura 2.15.1.

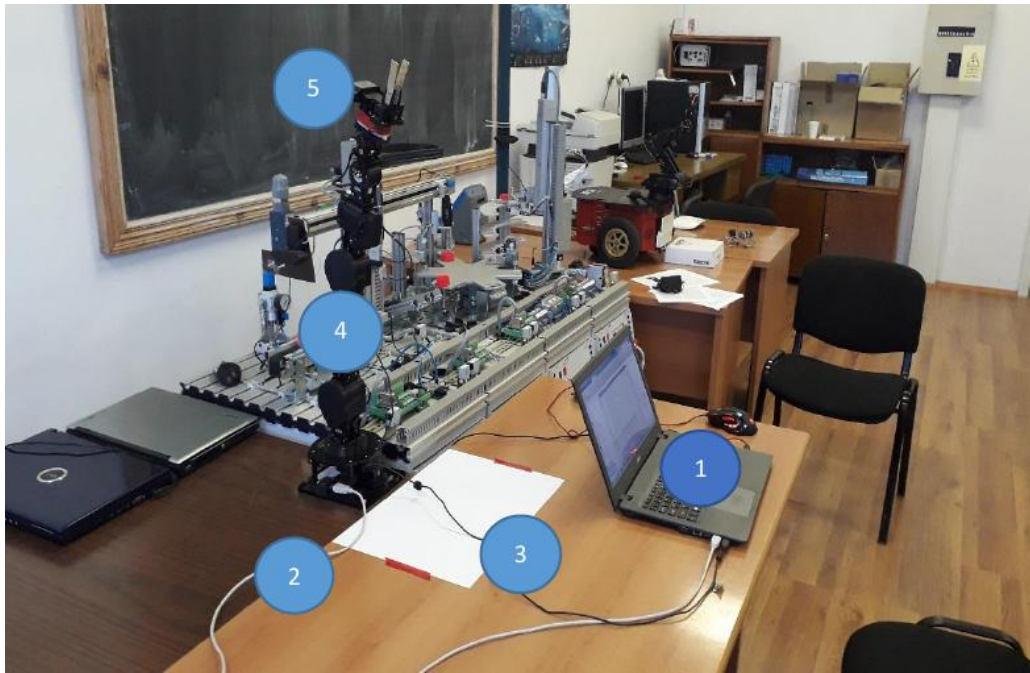


Fig. 2.15.1 Schema fizică a ansamblului: 1-PC, 2-Cablu USB pentru conectare PC-braț robotic, 3-Cablu USB pentru conectare PC-cameră video, 4-Braț robotic Cyton Gamma 1500, 5-Cameră video Logitech HD Pro Webcam C920.

O primă etapă este plasarea end-effector-ului brațului robotic la o distanță de 6cm deasupra obiectelor. După această etapă intră în funcțiune algoritmul pentru prelucrarea imaginii și de apelare a programelor de control ale brațului robotic. Programul MATLAB este responsabil pentru următoarele funcții: apelarea programelor pentru comanda brațului robotic, captura imaginii, identificarea obiectelor din imagine, sortarea ariilor obiectelor descrescător și calculul coordonatelor obiectelor.

După ce brațul robotic a ajuns în poziția de scanare, se efectuează captura și prelucrarea imaginii conform schemei prezentate în figura 2.15.2.

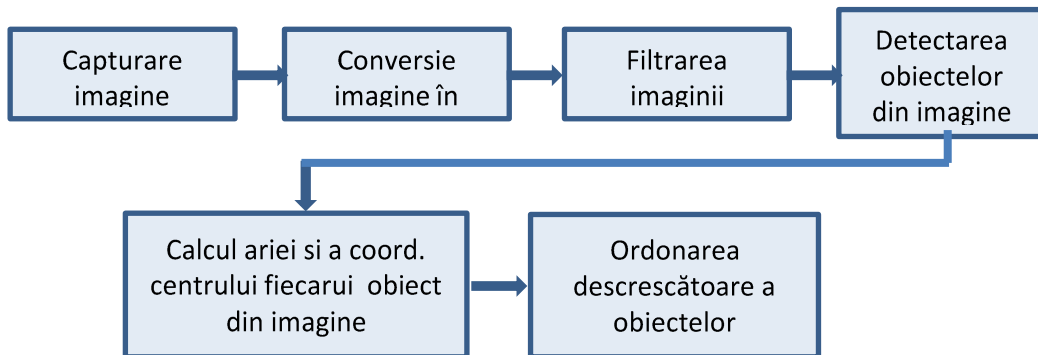


Fig. 2.15.2 Schema algoritmului pentru procesarea imaginii

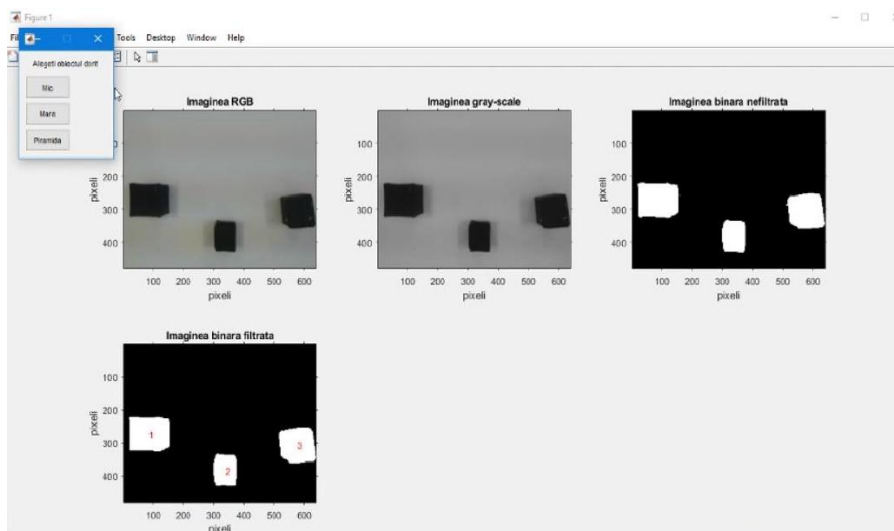


Fig. 2.15.3 Interfața grafică realizată în Matlab

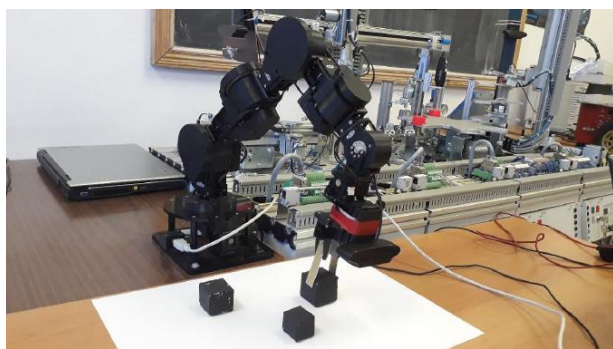


Fig. 2.15.4 Faza inițială și cea finală în cazul aranjării obiectelor într-o stivă în ordinea mărimii lor, de la cel mai mare la cel mai mic.

Un al doilea algoritm realizat permite manipularea cutiilor de medicamente (ce au atașate diverse coduri QR) de către un braț robotic.

Obiectivele algoritmului au fost i) scanarea unor cutii cu medicamente pe care erau atașate/lipite coduri QR cu diferite semnificații, ii) calcularea exactă a poziției cutiei de medicamente, iii) trimiterea poziției lor către manipulatorul robotic și iv) manipularea cutiei aleasă de către brațul robotic.

Codul QR (abreviat de la "cod cu răspuns rapid") este un tip de cod de bare matriceală proiectat pentru prima dată în 1994 pentru industria auto din Japonia. Un cod QR constă din pătrate negre aranjate într-o rețea pătrată pe un fundal alb, care poate fi citit de un dispozitiv de imagine, cum ar fi o cameră foto, și procesată folosind corecția de eroare Reed-Solomon până când imaginea poate fi interpretată corespunzător. Datele necesare sunt apoi extrase din modelele prezente în componentele orizontale și verticale ale imaginii.

După detectarea și decodarea codului QR introdus/cerut de utilizator (a se vedea fig. 2.15.5) se determină poziția acestuia în imagine (în pixeli). Această poziție este convertită în centimetri (a se vedea fig. 2.15.6) și trimisă către brațul robotic pentru manipulare.



Fig. 2.15.5 Scanarea diverselor coduri QR și găsierea/detectarea codului cerut de utilizator.

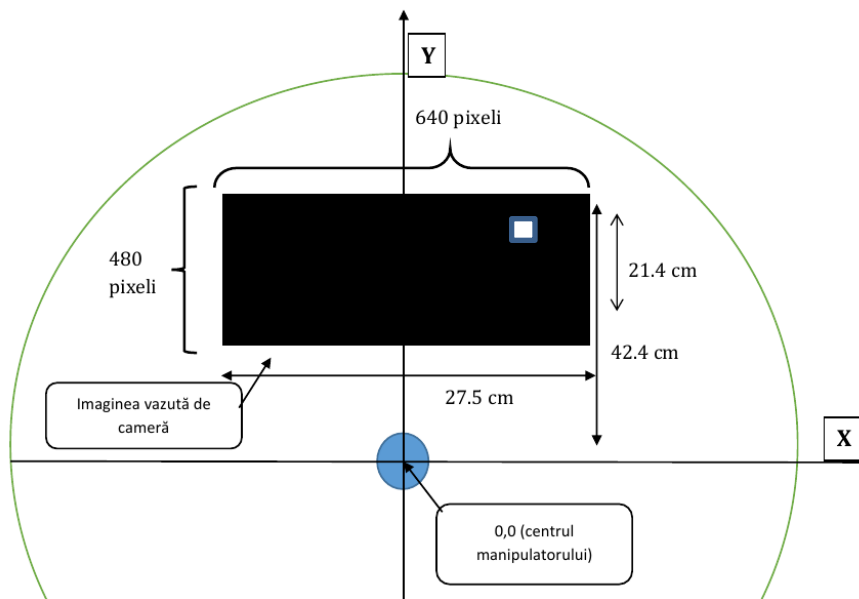


Fig. 2.15.6 Schema de calcul a coordonatelor reale (din pixeli in cm)

Schema algoritmului propus pentru manipularea cutiilor de medicamente (ce au atasate un cod QR) este descrisă în figura 2.15.7.

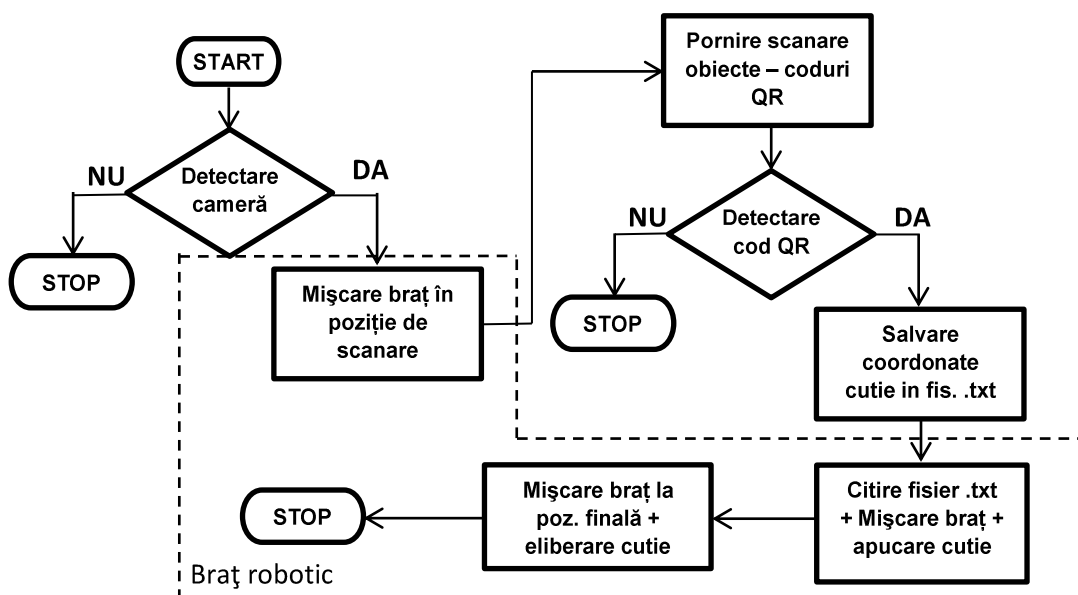


Fig. 2.15.7 Schema algoritmului manipulare cutie coduri QR

CONCLUZII

Raportul științific pune în evidență soluțiile pe care echipa de lucru a Proiectului 5 le oferă pentru cerințele Etapei 2. În Raportul științific detaliat încărcat pe platforma proiectului P5 (<http://www.cidsacteh.ugal.ro>), se pot vizualiza soluțiile și rezultatele cercetării aferente **Etapei 2. "Proiectarea și integrarea structurilor de conducere inteligentă și distribuită a sistemelor autonome în servicii de deservire medico-socială și linii de fabricație de laborator"**.

REZULTATE ETAPA 2

S-au obținut următoarele rezultate:

- Structură de conducere inteligentă și structură de navigare pentru SAC-SI, "Cirrus Power Wheelchair" integrat în tehnologia de asistare a persoanelor cu dizabilități neuro-motorii severe;
- Structură de evitare a obstacolelor (bazată pe senzori de tip laser și video) ce deserveste scaunul cu roțile de tip "Cirrus Power Wheelchair" (SAC-SI) integrat în tehnologia de asistare a persoanelor cu dizabilități neuro-motorii severe;
- Structură de conducere avansată bazată pe senzori performanți și sistem servoing vizual mobil a manipulatorului Cyton 1500 care echipează SAC-SI;

DISEMINARE

Articole (ISI Proceedings sau BDI)

1. R. Solea, A. Margarit, D. Cernega, A. Serbencu, "Head Movement Control of Powered Wheelchair", IEEE - 23rd International Conference on System Theory, Control and Computing (ICSTCC), 9-11 Oct. 2019, Sinaia, Romania, DOI: 10.1109/ICSTCC.2019.8885844